

## ДВЕ ФОРМЫ ПРЕДСТАВЛЕНИЯ ПОЛОСОВЫХ И РЕЖЕКТОРНЫХ РЕКУРСИВНЫХ ЦИФРОВЫХ ФИЛЬТРОВ КАСКАДНОЙ СТРУКТУРЫ

Гадзиковский В.И.

Проектирование рекурсивных ЦФ обычно осуществляется по аналоговым нормированным ФНЧ-прототипам [2, 3]. Процедура проектирования состоит из трёх этапов (рис. 1).

Первый этап — синтез аналогового нормированного ФНЧ-прототипа. В результате его выполнения получают передаточную функцию  $H(s)$ . Нормирование заключается в том, что используется «безразмерная» частота  $\Omega = f/f_{\Pi}$ , где  $f_{\Pi}$  — верхняя граничная частота полосы пропускания (при  $f=f_{\Pi}$  частота среза полосы пропускае-ния  $\Omega_{\Pi} = 1$ ). Для синтеза необходимо задать макси-мально допустимое затухание (или неравномерность АЧХ) в полосе пропускания  $a_{\Pi}$ , минимальное достаточное затухание в полосе задерживания  $a_3$  и нижнюю граничную частоту полосы задерживания  $\Omega_3$ . На практике обычно используют ФНЧ прототипы с характеристиками Баттерворта, Чебышева 1, Чебышева 2 и эллиптические (Кауэра). Методики синтеза этих ФНЧ-прототипов описаны в [2, 3]. Передаточная функция  $H(s)$  может быть представлена

*Рассматривается представление ЦФ полосового и режекторного типов каскадной структуры, элементарные блоки которых имеют либо четвёртый, либо второй порядки. Проводится расчёт дисперсии собственных шумов квантования.*

в различных формах: дробно-рациональной, нуль-полюсной, в виде суммы простых дробей, в каскадной и др.

Второй этап — денормирование частоты в аналоговой области. В результате получают передаточную функцию  $H(p)$  аналогового фильтра, частоты среза которого соответствуют заданным. Операция денормирования соответствует отображению комплексной  $S$ -плоскости в комплексную  $P$ -плоскость. При этом используется следующая замена аргумента:

$$H(p) = H(s) \Big|_{s=\xi(p)} \quad (1)$$

Выражения для функций  $s = \xi(p)$  сведены в табл. 1.

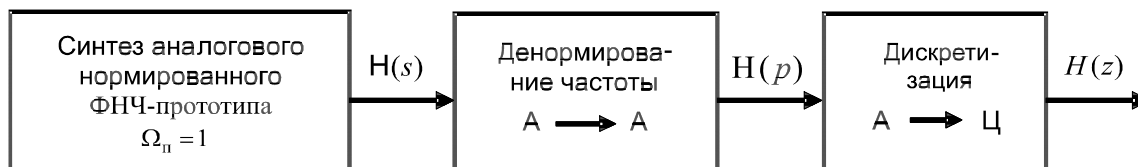


Рис. 1. Этапы проектирования рекурсивных ЦФ

Таблица 1

Тип аналогового фильтра	Формула замены оператора $s = \xi(p)$
ФНЧ	$s = p/\omega_{\Pi}$
ФВЧ	$s = \omega_{\Pi}/p$
Полосовой фильтр (ПФ)	$s = (p^2 + \omega_0^2)/(\Delta\omega p)$
Режекторный фильтр (РФ)	$s = (\Delta\omega p)/(p^2 + \omega_0^2)$
Примечание: $\omega_{\Pi} = 2\pi f_{\Pi}$ — частота среза; $\omega_0 = 2\pi f_0$ — центральная частота; $\Delta\omega = \omega_{\Pi 2} - \omega_{\Pi 1} = 2\pi \Delta f$ - ширина полосы пропускания	

В результате денормирования частоты по формулам  $s = \xi(p)$  табл.1 из передаточной функции дробно-рационального вида  $H(s)$  получается передаточная функция  $H(p)$  также дробно-рационального вида. Порядок  $N$  передаточной функции  $H(p)$  равен порядку  $n$  передаточной функции  $H(s)$  ФНЧ-прототипа при переходе к ФНЧ или к ФВЧ и удвоенному порядку  $2n$  функции  $H(s)$  при переходе к полосовому или к режекторному фильтрам.

Третий этап — дискретизация, в результате выполнения которого получают передаточную функцию ЦФ  $H(z)$ . Операция дискретизации соответствует отображению комплексной  $P$ -плоскости в комплексную  $Z$ -плоскость. При этом мнимая ось  $P$ -плоскости должна отображаться в единичную окружность  $Z$ -плоскости, а левая полуплоскость  $P$ -плоскости — во внутреннюю часть круга единичного радиуса  $Z$ -плоскости. Выполнение этих требований гарантирует сохранение селективных свойств и устойчивости фильтра при дискретизации. При этом

$$H(z) = H(p) \Big|_{p=\eta(z)} \tag{2}$$

Наиболее часто при дискретизации используют билинейное преобразование:

$$p = \eta(z) = \frac{2}{T} \frac{1 - z^{-1}}{1 + z^{-1}} = 2f_d \frac{1 - z^{-1}}{1 + z^{-1}}, \tag{3}$$

где  $f_d = 1/T$  — частота дискретизации.

Однако при билинейном преобразовании происходит деформация частотной шкалы, описываемая выражением

$$\omega_a = 2f_d \operatorname{tg}(\omega_{\Pi} T / 2), \tag{4}$$

где  $\omega_a$  — «аналоговая», а  $\omega_{\Pi}$  — «цифровая» частота. Эта деформация должна учитываться на этапе синтеза ФНЧ-прототипа при задании частоты  $\Omega_3$ .

Возможно также объединение этапов денормирования и дискретизации:

$$H(z) = H(s) \Big|_{s=\xi(\eta(z))=\varphi(z)} \tag{5}$$

При этом получается двухэтапная процедура синтеза. Если используется для дискретизации билинейное преобразование, то процедура (5) называется обобщённым билинейным преобразованием [4]. Формулы  $s = \varphi(z)$  обобщённого билинейного преобразования приведены в табл.2.

Таблица 2

Тип цифрового фильтра	Формула замены оператора $s = \varphi(z)$
ФНЧ	$s = g \frac{1 - z^{-1}}{1 + z^{-1}}$ , где $g = \operatorname{ctg}(\pi W_{\Pi})$
ФВЧ	$s = g \frac{1 + z^{-1}}{1 - z^{-1}}$ , где $g = \operatorname{tg}(\pi W_{\Pi})$
Полосовой фильтр (ПФ)	$s = g \frac{1 - 2\zeta z^{-1} + z^{-2}}{1 - z^{-2}}$ , где $g = \operatorname{ctg}[\pi(W_{\Pi 2} - W_{\Pi 1})]$ ; $\zeta = \frac{\cos[\pi(W_{\Pi 2} + W_{\Pi 1})]}{\cos[\pi(W_{\Pi 2} - W_{\Pi 1})]}$
Режекторный фильтр (РФ)	$s = g \frac{1 - z^{-2}}{1 - 2\zeta z^{-1} + z^{-2}}$ , где $g = \operatorname{tg}[\pi(W_{\Pi 2} - W_{\Pi 1})]$ ; $\zeta = \frac{\cos[\pi(W_{\Pi 2} + W_{\Pi 1})]}{\cos[\pi(W_{\Pi 2} - W_{\Pi 1})]}$
Примечание: $g$ и $\alpha$ — параметры преобразования, определяемые нормированными граничными частотами полос пропускания ЦФ: $W_{\Pi} = f_{\Pi} / f_d$	

Описанные в [2, 3] методы синтеза передаточных функций аналоговых нормированных ФНЧ-прототипов Баттерворта, Чебышева и эллиптических, позволяют представить  $H(s)$  в обобщённой форме, соответствующей каскадной форме реализации в виде соединения блоков первого и второго порядка:

$$H(s) = \frac{K_0}{F s + Q} \prod_{k=1}^r \frac{C s^2 + A_{0k}}{s^2 + B_{1k} s + B_{0k}}, \tag{6}$$

где коэффициенты  $F, Q, C, A_{0k} (k = \overline{1, r})$  для различных типов аналоговых нормированных ФНЧ-прототипов определяются согласно табл.3.

Таблица 3

Коэффициент в (6)	Порядок фильтра $n$	Тип аналогового нормированного ФНЧ-прототипа			
		Баттерворта	Чебышева типа 1	Чебышева типа 2	эллиптический
$F$	нечётн.	1	1	1	1
	чётн.	0	0	0	0
$Q$	нечётн.	1	$\sigma$	$\sigma$	$\sigma$
	чётн.	1	1	1	1
$C$	нечётн.	0	0	1	1
	чётн.	0	0	1	1
$A_{0k}$	нечётн.	1	1	$A_{0k}$	$A_{0k}$
	чётн.	1	1	$A_{0k}$	$A_{0k}$

Примечание:  $k = \overline{1, r}$

Применение подстановок  $s = \varphi(z)$  из табл.2 к выражению (6) приводит к передаточным функциям ЦФ:

$$H(z) = \frac{a_0 + a_1 z^{-1}}{1 + b_1 z^{-1}} \prod_{k=1}^r \frac{a_{0k} + a_{1k} z^{-1} + a_{2k} z^{-2}}{1 + b_{1k} z^{-1} + b_{2k} z^{-2}} \quad (7)$$

при синтезе фильтров нижних и верхних частот и

$$H(z) = \frac{a_0 + a_1 z^{-1} + a_2 z^{-2}}{1 + b_1 z^{-1} + b_2 z^{-2}} \times \quad (8)$$

$$\prod_{k=1}^r \frac{a_{0k} + a_{1k} z^{-1} + a_{2k} z^{-2} + a_{3k} z^{-3} + a_{4k} z^{-4}}{1 + b_{1k} z^{-1} + b_{2k} z^{-2} + b_{3k} z^{-3} + b_{4k} z^{-4}}$$

при синтезе полосовых и режекторных фильтров.

Каждый блок четвёртого порядка в (8) можно представить каскадным соединением двух блоков второго порядка. Тогда передаточная функция полосовых и режекторных фильтров может быть представлена в виде

$$H(z) = \frac{a_0 + a_1 z^{-1} + a_2 z^{-2}}{1 + b_1 z^{-1} + b_2 z^{-2}} \times \quad (9)$$

$$\prod_{k=1}^r \frac{a_{0k} + a_{1k} z^{-1} + a_{2k} z^{-2}}{1 + b_{1k} z^{-1} + b_{2k} z^{-2}} \times \frac{\bar{a}_{0k} + \bar{a}_{1k} z^{-1} + \bar{a}_{2k} z^{-2}}{1 + \bar{b}_{1k} z^{-1} + \bar{b}_{2k} z^{-2}}$$

Переход от формы представления передаточной функции ЦФ (8) к форме (9) требует определения полюсов и нулей передаточных функций блоков четвёртого порядка с целью разбиения каждого из них на два блока второго порядка. Для того чтобы избежать процедуры нахождения корней полиномов четвёртого порядка, используем следующий приём.

Передаточную функцию  $H(s)$  аналогового нормированного ФНЧ-прототипа (6) представим в нуль-полюсной форме

$$H(z) = \left\{ \begin{array}{l} \frac{a_0 + a_1 z^{-1} + a_2 z^{-2}}{1 + b_1 z^{-1} + b_2 z^{-2}} \prod_{k=1}^r \frac{\bar{\Gamma}_k (1 - z^{-2})}{(1 - z_{pk}^{(1)} z^{-1})(1 - z_{pk}^{(3)} z^{-1})} \frac{\bar{\Gamma}_k (1 - z^{-2})}{(1 - z_{pk}^{(2)} z^{-1})(1 - z_{pk}^{(4)} z^{-1})}; \\ \frac{a_0 + a_1 z^{-1} + a_2 z^{-2}}{1 + b_1 z^{-1} + b_2 z^{-2}} \prod_{k=1}^r \frac{\bar{K}_k (1 - z_{0k}^{(1)} z^{-1})(1 - z_{0k}^{(3)} z^{-1})}{(1 - z_{pk}^{(1)} z^{-1})(1 - z_{pk}^{(3)} z^{-1})} \frac{\bar{K}_k (1 - z_{0k}^{(2)} z^{-1})(1 - z_{0k}^{(4)} z^{-1})}{(1 - z_{pk}^{(2)} z^{-1})(1 - z_{pk}^{(4)} z^{-1})}, \end{array} \right. \quad (11)$$

$$H(s) = \left\{ \begin{array}{l} \frac{K_0}{Fs + Q} \prod_{k=1}^r \frac{1}{(s - s_{pk})(s - s_{pk}^*)}, \\ \text{для фильтра, не имеющего нулей;} \\ \frac{K_0}{Fs + Q} \prod_{k=1}^r \frac{(s - s_{0k})(s - s_{0k}^*)}{(s - s_{pk})(s - s_{pk}^*)}, \\ \text{для фильтра, имеющего нули,} \end{array} \right. \quad (10)$$

где комплексно-сопряжённые полюсы  $s_{pk}$ ,  $s_{pk}^*$  и нули (если они имеются)  $s_{0k}$ ,  $s_{0k}^*$  ( $k = \overline{1, r}$ ) передаточной функции  $H(s)$  определяются либо непосредственно в процессе синтеза ФНЧ-прототипа, либо вычисляются исходя из выражения (6).

После подстановки в выражение (10) формул замены оператора из табл.2

$s = g(1 - 2\zeta z^{-1} + z^{-2}) / (1 - z^{-2})$  полосового ЦФ и  $s = g(1 - z^{-2}) / (1 - 2\zeta z^{-1} + z^{-2})$  режекторного ЦФ и

избавления от «многоэтажности» дробей, каждый бином в (10) превращается в квадратный трёхчлен комплексной переменной  $Z$ , корни которых легко вычислить. Численные расчёты, проведённые с использованием системы компьютерной математики Mathcad, показали, что комплексно-сопряжёнными являются полюсы  $z_{pk}^{(1)}$  и  $z_{pk}^{(3)}$ ,  $z_{pk}^{(2)}$  и  $z_{pk}^{(4)}$ , а также нули  $z_{0k}^{(1)}$  и  $z_{0k}^{(3)}$ ,  $z_{0k}^{(2)}$  и  $z_{0k}^{(4)}$  ( $k = \overline{1, r}$ ) передаточной функции фильтра  $H(z)$ , т.е.

$$z_{pk}^{(3)} = z_{pk}^{(1)*}; \quad z_{pk}^{(4)} = z_{pk}^{(2)*}; \quad z_{0k}^{(3)} = z_{0k}^{(1)*}; \quad z_{0k}^{(4)} = z_{0k}^{(2)*} \quad (k = \overline{1, r}).$$

Для получения блоков второго порядка, передаточные функции которых имеют вещественные коэффициенты, комплексно-сопряжённые полюсы (и нули, если они имеются) следует сгруппировать попарно. В результате передаточная функция полосового фильтра будет представлена в виде

а режекторного фильтра в виде

$$H(z) = \begin{cases} \frac{a_0 + a_1 z^{-1} + a_2 z^{-2}}{1 + b_1 z^{-1} + b_2 z^{-2}} \prod_{k=1}^r \frac{\bar{\Gamma}_k (1 - 2\alpha_k z^{-1} + z^{-2})}{(1 - z_{pk}^{(1)} z^{-1})(1 - z_{pk}^{(3)} z^{-1})} \frac{\bar{\Gamma}_k (1 - 2\alpha_k z^{-1} + z^{-2})}{(1 - z_{pk}^{(2)} z^{-1})(1 - z_{pk}^{(4)} z^{-1})}; \\ \frac{a_0 + a_1 z^{-1} + a_2 z^{-2}}{1 + b_1 z^{-1} + b_2 z^{-2}} \prod_{k=1}^r \frac{\bar{K}_k (1 - z_{0k}^{(1)} z^{-1})(1 - z_{0k}^{(3)} z^{-1})}{(1 - z_{pk}^{(1)} z^{-1})(1 - z_{pk}^{(3)} z^{-1})} \frac{\bar{K}_k (1 - z_{0k}^{(2)} z^{-1})(1 - z_{0k}^{(4)} z^{-1})}{(1 - z_{pk}^{(2)} z^{-1})(1 - z_{pk}^{(4)} z^{-1})}, \end{cases} \quad (12)$$

где первые выражения в правых частях (11) и (12) соответствует случаю отсутствия, а вторые — случаю наличия нулей передаточной функции ФНЧ-прототипа  $H(s)$ .

После перемножения соответствующих биномов в знаменателях (11) и (12)  $(1 - z_{pk}^{(1)} z^{-1})(1 - z_{pk}^{(3)} z^{-1})$  и  $(1 - z_{pk}^{(2)} z^{-1})(1 - z_{pk}^{(4)} z^{-1})$ , а также биномов в числителях (если они имеются)  $(1 - z_{0k}^{(1)} z^{-1})(1 - z_{0k}^{(3)} z^{-1})$  и  $(1 - z_{0k}^{(2)} z^{-1})(1 - z_{0k}^{(4)} z^{-1})$ , получим передаточные функции полосового и режекторного фильтров в форме (9), соответствующей каскадному соединению блоков второго порядка с вещественными коэффициентами. Формулы для вычисления коэффициентов  $a_0, a_1, a_2, b_1, b_2$ , а также  $a_{0k}, a_{1k}$ ,

$$a_{2k}, b_{1k}, b_{2k}, \bar{a}_{0k}, \bar{a}_{1k}, \bar{a}_{2k}, \bar{b}_{1k}, \bar{b}_{2k} \quad (k = \overline{1, r})$$

выражаются через параметры передаточной функции (10) ФНЧ-прототипа и параметры обобщённого билинейного преобразования  $g, \zeta$ . Эти коэффициенты сведены в табл.4 для полосового (ПФ) и табл.5 для режекторного (РФ) фильтров, где использованы следующие обозначения:

$$\bar{\Gamma}_k = 1 / \sqrt{(g - \sigma_k)^2 + \Omega_k^2}, \quad k = \overline{1, r}; \quad (13)$$

$$\bar{K}_k = \sqrt{\frac{g^2 + \lambda_k^2}{(g - \sigma_k)^2 + \Omega_k^2}}, \quad k = \overline{1, r}. \quad (14)$$

$$\begin{cases} \alpha_k = \frac{g\zeta}{g - \sigma_k - j\Omega_k}; \quad \beta_k = \frac{g\zeta}{g - \sigma_k + j\Omega_k}; \\ \gamma_k = \sqrt{\left(\frac{g\zeta}{g - \sigma_k - j\Omega_k}\right)^2 - \frac{g + \sigma_k + j\Omega_k}{g - \sigma_k - j\Omega_k}}; \quad k = \overline{1, r}. \\ \eta_k = \sqrt{\left(\frac{g\zeta}{g - \sigma_k + j\Omega_k}\right)^2 - \frac{g + \sigma_k - j\Omega_k}{g - \sigma_k + j\Omega_k}}, \end{cases} \quad (15)$$

$$\begin{cases} \mu_k = \frac{g\zeta}{g - j\lambda_k}; \quad \nu_k = \frac{g\zeta}{g + j\lambda_k}; \\ \chi_k = \sqrt{\left(\frac{g\zeta}{g - j\lambda_k}\right)^2 - \frac{g + j\lambda_k}{g - j\lambda_k}}; \quad k = \overline{1, r}; \\ \vartheta_k = \sqrt{\left(\frac{g\zeta}{g + j\lambda_k}\right)^2 - \frac{g - j\lambda_k}{g + j\lambda_k}}, \end{cases} \quad (16)$$

$$\begin{cases} \hat{\alpha}_k = \frac{-\zeta(\sigma_k + j\Omega_k)}{g - \sigma_k - j\Omega_k}, \quad \hat{\beta}_k = \frac{-\zeta(\sigma_k - j\Omega_k)}{g - \sigma_k + j\Omega_k}; \\ \hat{\gamma}_k = \sqrt{\left[\frac{\zeta(\sigma_k + j\Omega_k)}{g - \sigma_k - j\Omega_k}\right]^2 + \frac{g + \sigma_k + j\Omega_k}{g - \sigma_k - j\Omega_k}}; \quad k = \overline{1, r}; \\ \hat{\eta}_k = \sqrt{\left[\frac{\zeta(\sigma_k - j\Omega_k)}{g - \sigma_k + j\Omega_k}\right]^2 + \frac{g + \sigma_k - j\Omega_k}{g - \sigma_k + j\Omega_k}}, \end{cases} \quad (17)$$

$$\begin{cases} \hat{\mu}_k = \frac{-j\lambda_k\zeta}{g - j\lambda_k}, \quad \hat{\nu}_k = \frac{j\lambda_k\zeta}{g + j\lambda_k}; \\ \hat{\chi}_k = \sqrt{\left(\frac{-j\lambda_k\zeta}{g - j\lambda_k}\right)^2 + \frac{g + j\lambda_k}{g - j\lambda_k}}; \quad k = \overline{1, r}. \\ \hat{\vartheta}_k = \sqrt{\left(\frac{j\lambda_k\zeta}{g + j\lambda_k}\right)^2 + \frac{g - j\lambda_k}{g + j\lambda_k}}, \end{cases} \quad (18)$$

Таблица 4

Коэффициенты в (9)	ФНЧ-прототип без нулей передаточной функции (6): $C = 0$		ФНЧ-прототип с нулями передаточной функции (6): $C = 1$	
	$n$ нечётн.	$n$ чётн.	$n$ нечётн.	$n$ чётн.
$a_0$	$K_0 / (Fg + Q)$	$K_0$	$K_0 / (Fg + Q)$	$K_0$
$a_1$	0	0	0	0
$a_2$	$-K_0 / (Fg + Q)$	0	$-K_0 / (Fg + Q)$	0
$b_1$	$-2Fg\zeta / (Fg + Q)$	0	$-2Fg\zeta / (Fg + Q)$	0



$b_2$	$(Fg - Q)/(Fg + Q)$	0	$(Fg - Q)/(Fg + Q)$	0
$a_{0k}$	$\bar{\Gamma}_k$		$\bar{K}_k$	
$a_{1k}$	0		$-\bar{K}_k[(\mu_k + \chi_k) + (v_k + \vartheta_k)]$	
$a_{2k}$	$-\bar{\Gamma}_k$		$\bar{K}_k(\mu_k + \chi_k)(v_k + \vartheta_k)$	
$b_{1k}$	$-(\alpha_k + \gamma_k) - (\beta_k + \eta_k)$		$-(\alpha_k + \gamma_k) - (\beta_k + \eta_k)$	
$b_{2k}$	$(\alpha_k + \gamma_k)(\beta_k + \eta_k)$		$(\alpha_k + \gamma_k)(\beta_k + \eta_k)$	
$\bar{a}_{0k}$	$\bar{\Gamma}_k$		$\bar{K}_k$	
$\bar{a}_{1k}$	0		$-\bar{K}_k[(\mu_k - \chi_k) + (v_k - \vartheta_k)]$	
$\bar{a}_{2k}$	$-\bar{\Gamma}_k$		$\bar{K}_k(\mu_k - \chi_k)(v_k - \vartheta_k)$	
$\bar{b}_{1k}$	$-(\alpha_k - \gamma_k) - (\beta_k - \eta_k)$		$-(\alpha_k - \gamma_k) - (\beta_k - \eta_k)$	
$\bar{b}_{2k}$	$(\alpha_k - \gamma_k)(\beta_k - \eta_k)$		$(\alpha_k - \gamma_k)(\beta_k - \eta_k)$	
Примечание: $n$ — порядок ФНЧ-прототипа; $k = \overline{1, r}$				

Таблица 5

Коэффициенты в (9)	ФНЧ-прототип без нулей передаточной функции (6): $C = 0$		ФНЧ-прототип с нулями передаточной функции (6): $C = 1$	
	$n$ нечётн.	$n$ чётн.	$n$ нечётн.	$n$ чётн.
$a_0$	$K_0/(Fg + Q)$	$K_0$	$K_0/(Fg + Q)$	$K_0$
$a_1$	$-2K_0\zeta/(Fg + Q)$	0	$-2K_0\zeta/(Fg + Q)$	0
$a_2$	$K_0/(Fg + Q)$	0	$K_0/(Fg + Q)$	0
$b_1$	$-2Q\zeta/(Fg + Q)$	0	$-2Q\zeta/(Fg + Q)$	0
$b_2$	$(Q - Fg)/(Fg + Q)$	0	$(Q - Fg)/(Fg + Q)$	0
$a_{0k}$	$\bar{\Gamma}_k$		$\bar{K}_k$	
$a_{1k}$	$-2\zeta\bar{\Gamma}_k$		$-\bar{K}_k[(\hat{\mu}_k + \hat{\chi}_k) + (\hat{v}_k + \hat{\vartheta}_k)]$	
$a_{2k}$	$\bar{\Gamma}_k$		$\bar{K}_k(\hat{\mu}_k + \hat{\chi}_k)(\hat{v}_k + \hat{\vartheta}_k)$	
$b_{1k}$	$-(\hat{\alpha}_k + \hat{\gamma}_k) - (\hat{\beta}_k + \hat{\eta}_k)$		$-(\hat{\alpha}_k + \hat{\gamma}_k) - (\hat{\beta}_k + \hat{\eta}_k)$	
$b_{2k}$	$(\hat{\alpha}_k + \hat{\gamma}_k)(\hat{\beta}_k + \hat{\eta}_k)$		$(\hat{\alpha}_k + \hat{\gamma}_k)(\hat{\beta}_k + \hat{\eta}_k)$	
$\bar{a}_{0k}$	$\bar{\Gamma}_k$		$\bar{K}_k$	
$\bar{a}_{1k}$	$-2\zeta\bar{\Gamma}_k$		$-\bar{K}_k[(\hat{\mu}_k - \hat{\chi}_k) + (\hat{v}_k - \hat{\vartheta}_k)]$	
$\bar{a}_{2k}$	$\bar{\Gamma}_k$		$\bar{K}_k(\hat{\mu}_k - \hat{\chi}_k)(\hat{v}_k - \hat{\vartheta}_k)$	
$\bar{b}_{1k}$	$-(\hat{\alpha}_k - \hat{\gamma}_k) - (\hat{\beta}_k - \hat{\eta}_k)$		$-(\hat{\alpha}_k - \hat{\gamma}_k) - (\hat{\beta}_k - \hat{\eta}_k)$	
$\bar{b}_{2k}$	$(\hat{\alpha}_k - \hat{\gamma}_k)(\hat{\beta}_k - \hat{\eta}_k)$		$(\hat{\alpha}_k - \hat{\gamma}_k)(\hat{\beta}_k - \hat{\eta}_k)$	
Примечание: $n$ — порядок ФНЧ-прототипа; $k = \overline{1, r}$				

**Пример.** Используя обобщённое билинейное преобразование, спроектировать полосовой рекурсивный ЦФ с характеристикой Чебышева типа 2 при следующих исходных данных:

— граничные частоты полосы пропускания:  $f_{п1} = 20$  кГц,  $f_{п2} = 22$  кГц;

— максимальное затухание в полосе пропускания  $a_{пдБ} = 1,5$  дБ;

— граничные частоты полос задерживания:  $f_{з1} = 19,3$  кГц,  $f_{з2} = 22,7$  кГц;

— минимальное затухание в полосах задерживания  $a_{здБ} = 40$  дБ;

— частота дискретизации  $f_d = 70$  кГц;

— максимальный по модулю уровень входного сигнала  $X = \max|x[n]| = 1$ ;

— динамический диапазон входного сигнала  $D = 40$  дБ;

— отношение сигнал/шум на выходе ЦФ при входном сигнале, соответствующем нижней границе динамического диапазона,  $Ш = 40$  дБ;

— для представления чисел в DSP используется дополнительный код ( $\chi_2 = 12$ ).

Передаточную функцию ЦФ представить в формах (8) и (9).

Используя формулу  $W = f/f_d$ , вычисляем нормированные граничные «цифровые» частоты полосы пропускания ( $W_{п1} = 0,286$ ;  $W_{п2} = 0,314$ ) и полос задерживания ( $W_{з1} = 0,276$ ;  $W_{з2} = 0,324$ ), а по формулам табл.2 находим параметры преобразования ( $g = 11,111$  и  $\zeta = -0,31$ ), входящие в формулу замены аргумента передаточной функции  $H(s)$ , и нормированную граничную частоту полосы задерживания аналогового нормированного ФНЧ-прототипа  $\Omega_3 = 1,682$ .

По методике, описанной в [2, 3], при  $\Omega_3 = 1,682$ ,  $a_{п} = 1,5$  дБ и  $a_3 = 40$  дБ проведём синтез нормированного аналогового ФНЧ-прототипа Чебышева 2. В результате получим передаточную функцию  $H(s)$  6-го порядка в форме (6), коэффициенты которой равны соответственно (см. табл.3):

$$n = 6; \quad r = 3; \quad K_0 = 0,01; \quad F = 0; \quad Q = 1;$$

$$C = 1; \quad A_{01} = 3,032; \quad B_{11} = 0,45; \quad B_{01} = 1,46;$$

$$A_{02} = 5,657;$$

$$B_{12} = 1,584; \quad B_{02} = 1,88; \quad A_{03} = 42,228;$$

$$B_{13} = 3,039; \quad B_{03} = 2,639.$$

Используя формулы табл.2 для полосового фильтра, вычислим коэффициенты передаточной функции  $H(z)$  проектируемого ЦФ 12-го порядка в форме (8):

$$a_0 = 0,01; \quad a_1 = 0; \quad a_2 = 0; \quad b_1 = 0; \quad b_2 = 0;$$

$$a_{01} = 0,974; \quad a_{11} = 1,179; \quad a_{21} = 2,22;$$

$$a_{31} = 1,179; \quad a_{41} = 0,974;$$

$$b_{11} = 1,203; \quad b_{21} = 2,244; \quad b_{31} = 1,155; \quad b_{41} = 0,923;$$

$$a_{02} = 0,903; \quad a_{12} = 1,072; \quad a_{22} = 1,981;$$

$$a_{32} = 1,072; \quad a_{42} = 0,903;$$

$$b_{12} = 1,148; \quad b_{22} = 2,034; \quad b_{32} = 0,995; \quad b_{42} = 0,754;$$

$$a_{03} = 1,036; \quad a_{13} = 0,958; \quad a_{23} = 1,314;$$

$$a_{33} = 0,958; \quad a_{43} = 1,036;$$

$$b_{13} = 1,09; \quad b_{23} = 1,809; \quad b_{33} = 0,827; \quad b_{43} = 0,578.$$

По формулам табл.4 с использованием выражений (13) — (16) вычислим коэффициенты передаточной функции  $H(z)$  проектируемого полосового ЦФ 12-го порядка в форме (9):

$$a_0 = 0,01; \quad a_1 = 0; \quad a_2 = 0; \quad b_1 = 0; \quad b_2 = 0;$$

$$a_{01} = 0,987; \quad a_{11} = 0,307; \quad a_{21} = 0,987;$$

$$b_{11} = 0,403; \quad b_{21} = 0,959;$$

$$\bar{a}_{01} = 0,987; \quad \bar{a}_{11} = 0,888; \quad \bar{a}_{21} = 0,987;$$

$$\bar{b}_{11} = 0,8; \quad \bar{b}_{21} = 0,962;$$

$$a_{02} = 0,95; \quad a_{12} = 0,185; \quad a_{22} = 0,95;$$

$$b_{12} = 0,394; \quad b_{22} = 0,864;$$

$$\bar{a}_{02} = 0,95; \quad \bar{a}_{12} = 0,943; \quad \bar{a}_{22} = 0,95;$$

$$\bar{b}_{12} = 0,754; \quad \bar{b}_{22} = 0,872;$$

$$a_{03} = 1,018; \quad a_{13} = -0,52; \quad a_{23} = 1,018;$$

$$b_{13} = 0,456; \quad b_{23} = 0,756;$$

$$\bar{a}_{03} = 1,018; \quad \bar{a}_{13} = 1,461; \quad \bar{a}_{23} = 1,018;$$

$$\bar{b}_{12} = 0,633; \quad \bar{b}_{22} = 0,764.$$

АЧХ спроектированных полосовых ЦФ Чебышева второго типа 12-го порядка ( $N = 12$ ) с передаточными функциями (8) и (9) полностью совпадают. Они изображены на рис. 2 в линейном и логарифмическом масштабах. На граничных частотах полосы пропускания  $f_{п1} = 20$  кГц и  $f_{п2} = 22$  кГц затухание  $a_{п} = 0,276$  дБ (что меньше допустимого  $a_{п} = 1,5$  дБ). На граничных частотах полос задерживания затухания получились различные: на  $f_{з1} = 19,3$  кГц  $a_3 = 40$  дБ, а на  $f_{з2} = 22,7$  кГц  $a_3 = 68,648$  дБ. Минимальное затухание в полосе задерживания  $a_{3\min} = 40$  дБ. Таким образом, все параметры АЧХ спроектированных полосовых ЦФ соответствуют заданным техническим требованиям.

По методике [1] при заданных динамическом диапазоне входного сигнала  $D = 40$  дБ, отношении сигнал/шум  $Ш = 40$  дБ рассчитывались дисперсии (мощности) собственных шумов квантования на выходах спроектированных ЦФ при разрядности вычислителя в формате с фиксированной точкой  $S = 22$ . Результаты расчётов следующие:

• для ЦФ с передаточной функцией (8)

$$D_{\text{ВЫХ}_{\text{собст}}} = 8,410 \cdot 10^{-8}; \quad \sigma_{\text{ВЫХ}_{\text{собст}}} = 2,902 \cdot 10^{-4};$$

• для ЦФ с передаточной функцией (9)

$$D_{\text{ВЫХ}_{\text{собст}}} = 7,59 \cdot 10^{-9}; \quad \sigma_{\text{ВЫХ}_{\text{собст}}} = 8,712 \cdot 10^{-5}.$$

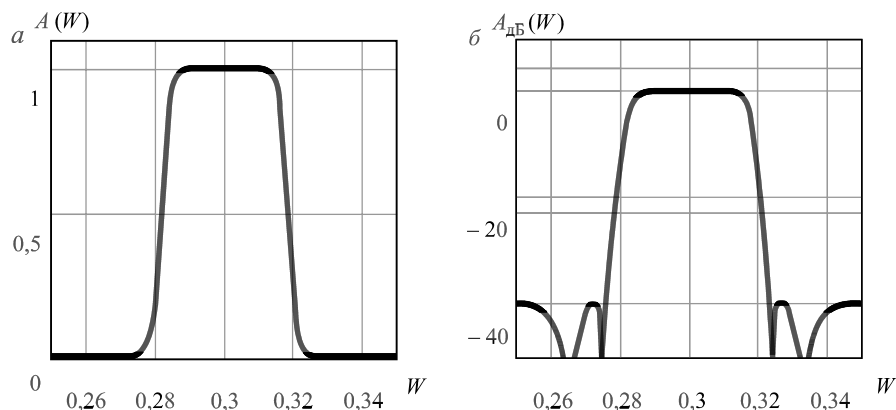
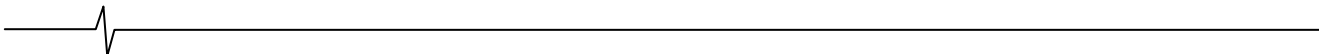


Рис. 2. АЧХ цифрового полосового фильтра Чебышева второго типа 12-го порядка, спроектированного в примере: а — линейный масштаб; б — логарифмический масштаб

Приведённый пример показывает, что реализация полосовых и режекторных ЦФ каскадной структуры на основе блоков второго порядка [см. (9)] обеспечивает гораздо меньший уровень собственных шумов квантования на выходе, чем реализация на основе блоков четвёртого порядка [см. (8)]. Аналогично, чувствительность АЧХ ЦФ к точности задания коэффициентов ЦФ для передаточной функции (9) ниже, чем для передаточной функции (8). Здесь проявляется общая закономерность, впервые установленная Кайзером [2]: чувствительность к точности задания коэффициентов передаточной функции минимальная у ЦФ каскадной структуры с наименьшим порядком блоков (у вещественных ЦФ наименьший порядок равен 2).

#### Литература

1. Гадзиковский В.И. Теоретические основы цифровой обработки сигналов. — М.: Радио и связь, 2004. — 344 с.
2. Рабинер Л., Гоулд Б. Теория и применение цифровой обработки сигналов. — М.: Мир, 1978. — 848 с.
3. Гадзиковский В.И. Основы теории и проектирования цифровых фильтров: Учебное пособие для радиотехн. спец. вузов. — М.: Высш. шк., 1996. — 256 с.
4. Гольденберг Л.М., Матюшкин Б.Д., Поляк М.Н. Цифровая обработка сигналов: Справочник. — М.: Радио и связь, 1985. — 312 с.

## Уважаемые авторы !

Редакция научно-технического журнала "Цифровая обработка сигналов" просит Вас соблюдать следующие требования к материалам, направляемым на публикацию

### 1) Требования к текстовым материалам и сопроводительным документам:

- Текст – текстовый редактор Microsoft Word на базе версии WINDOWS'95 или выше.
- Таблицы и рисунки должны быть пронумерованы. На все рисунки, таблицы и библиографические данные указываются ссылки в тексте статьи.
- Объем статьи до 12 стр. (шрифт 12). Для заказных обзорных работ объем может быть увеличен до 20 стр.
- Название статьи на русском и английском языках.
- Рукопись статьи сопровождается:
  - краткой аннотацией на русском и английском языках;
  - номером УДК;
  - сведениями об авторах (Ф.И.О., организация, телефоны, электронная почта).

### 2) Требования к иллюстрациям:

- Векторные (схемы, графики) – желательно использование графических редакторов Adobe Illustrator или Corel DRAW.
- Растровые (фотографии, рисунки) - М 1:1, разрешение не менее 300dpi, формат tiff.

**Справки по телефону: (4912)96-10-95 или по электронной почте: tor@rgta.gyazan.ru**